

УДК 621.81:62-752

## **КОНСТРУКЦИОННОЕ ДЕМПФИРОВАНИЕ В СОЕДИНЕНИИ ШПУЛИ С НАСАДКОЙ ШПИНДЕЛЯ ВЕРЕТЕНА**

*A.Ю. КОЛЯГИН, С.В. ПАЛОЧКИН*

(Московский государственный текстильный университет им. А.Н. Косыгина)  
E-mail: office@msta.ac.ru

*Осуществлено теоретическое исследование конструкционного демпфирования колебаний в соединении шпули с насадкой веретена крутильно-мотального механизма; описана методика исследования.*

*Theoretical research of structural damping of fluctuations in connection of a tube with a spindle bait of the twisting-reeling mechanism is carried out; the re-*

*search technique is described. The settlement dependence, which reliability is confirmed by the experiment data, is received for the determination of fluctuations energy dispersion for a cycle in the researched connection.*

**Ключевые слова:** крутильно-мотальные механизмы, соединение шпули паковки с насадкой шпинделя веретена, посадка с натягом, консольная балка, рассеянная энергия.

Одной из актуальных задач при определении диссипативных характеристик крутильно-мотальных механизмов является расчет рассеяния энергии колебаний в соединении шпули текстильной паковки с насадкой шпинделя веретена крутильно-мотального механизма.

Рассеяние энергии колебаний в данном соединении, которое следует отнести к соединениям деталей посадкой с натягом, в общем случае может быть определено расчетным путем как сумма потерь этой энергии за счет внешнего трения при проскальзывании втулки по валу и при контактных деформациях этих деталей. Величину проскальзывания определяют, учитывая совместную работу вала и втулки, а также их поверхностных слоев, как третьего тела.

Однако при больших отношениях длины соединения к посадочному диаметру и малых давлениях на его контактной поверхности (до 5 МПа), а именно к данному типу соединений относится соединение шпули с насадкой шпинделя, доля рассеяния энергии от контактных деформаций невелика [1]. Демпфирование в данном случае определяется в основном потерями на трение при относительном проскальзывании контактирующих поверхностей сопряженных деталей. При этом шпуля представляет собой тонкостенную втулку, что позволяет рассчитать рассеяние энергии колебаний в рассматриваемом соединении на базе изложенных в [2] результатов решения аналогичной задачи для консольной балки постоянного прямоугольного сечения с прижатыми к ней сверху и снизу тонкими накладками, расчетная схема которой приведена на рис. 1.

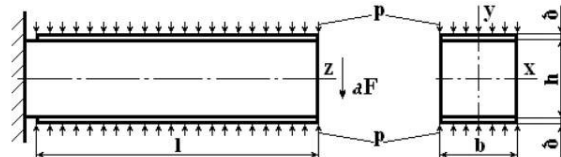


Рис. 1

Согласно [1], [2] рассеяние энергии  $W$  за цикл поперечных (изгибных) колебаний такой балки равно

$$W = \frac{2F_v^3 k^2 \ell^3 q_0 h}{3EJ_0 (kF_v + q_0 h)^2}, \quad (1)$$

где  $F_v = F$  – амплитуда переменной силы  $aF$ ;  $F$  – ее максимальное значение;  $-1 \leq a \leq 1$  – безразмерный коэффициент нагрузки;  $k = A\delta^2/(2J)$  – постоянная величина для данной балки с накладками;  $A = b\delta$  – площадь сечения накладки;  $\delta$  – толщина накладки;  $\ell$ ,  $b$  и  $h$  – длина, ширина и высота балки;  $E$  – модуль упругости первого рода материала балки;  $J_0 = bh^3/12$  – момент инерции сечения балки без накладок;  $J = b(h+2\delta)^3$  – момент инерции сечения балки с накладками;  $q_0 = fpb$  – интенсивность предельных сил трения (на единицу длины накладки) или предельное касательное усилие;  $f$  – коэффициент трения между накладкой и балкой;  $p$  – постоянное давление на контактной поверхности.

Исследуемое соединение шпули с насадкой шпинделя имеет конический стык с малой конусностью. Поэтому в первом приближении в качестве расчетной схемы данного соединения выбираем консольную балку постоянного круглого поперечного сечения диаметром  $d$  с напрессованной на нее тонкостенной цилиндрической втулкой, имеющей внешний диаметр  $D$  и длину  $\ell$  (рис. 2 – расчетная схема исследуемого соединения шпули с насадкой шпинделя веретена).

Разбив сечение балки по оси X на достаточно большое конечное число  $2N$  участков длиной  $dx = d/(2N)$ , моделируем круглое сечение балки в виде совокупности прямоугольных сечений переменной

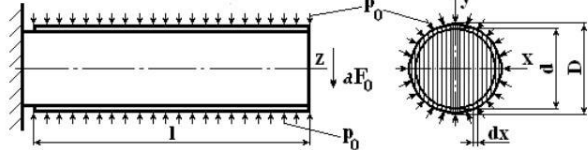


Рис. 2

При этом координата  $i$ -го участка по оси X равна:

$$x_i = dx(i - 0,5), \quad (2)$$

а его высота может быть вычислена по формуле:

$$h_i = 2\sqrt{(0,5d)^2 - (x_i)^2}, \quad (3)$$

где  $i = 1, 2, 3 \dots$  – номер рассматриваемого участка.

Подставив (2) с учетом  $dx = d/(2N)$  в (3), получаем:

$$h_i = d\sqrt{1 - (i - 0,5)^2 / N^2}. \quad (4)$$

Тогда соединение, представленное на рис. 2, можно моделировать в виде совокупности  $2N$  соединений балок прямоугольного сечения с прижатыми к ним тонкими накладками. Для каждого из этих  $2N$  соединений имеют место следующие соотношения параметров:

$$b_i = dx = d / (2N), \quad (5)$$

$$\delta_i = \delta = 0,5(D - d), \quad (6)$$

$$p_i = p_0 \sin \alpha_i = p_0 h_i / d = \\ = p_0 \sqrt{1 - (i - 0,5)^2 / N^2}, \quad (7)$$

где  $p_0$  – нормальное давление на контактных поверхностях цилиндрического соединения балки и втулки.

высоты  $h_i$  и постоянной ширины  $dx$  (рис. 2 и 3 – размеры прямоугольного сечения переменной высоты).

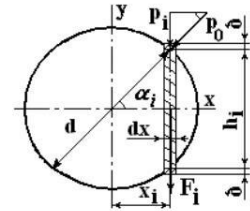


Рис. 3

Силы  $\alpha F_i$ , действующие на каждую из этих балок, определяем из условий равенства их суммы величине переменной нагрузки  $\alpha F_0$  и одинаковых значений прогибов у всех балок в местах приложения этих сил [3], то есть:

$$\alpha F_0 = 2 \sum_{i=1}^N \alpha F_i, \quad (8)$$

$$y = \frac{F_i \ell^3}{3EJ_{0i}} = \frac{F_{i+1} \ell^3}{3EJ_{0i+1}}. \quad (9)$$

Решив систему уравнений (8) и (9) с учетом ранее приведенного выражения для момента инерции сечения  $J_0$ , получаем:

$$F_{vi} = F_i = 0,5F_0 h_i^3 / \sum_{i=1}^N h_i^3. \quad (10)$$

В соответствии с разработанной моделью суммарное рассеяние энергии за цикл колебаний в исследуемом соединении может быть определено как

$$W = 2 \sum_{i=1}^N W_i, \quad (11)$$

где, учитывая (1):

$$W_i = \frac{2F_{vi}^3 k_i^2 \ell^3 q_{0i} h_i}{3EJ_{0i} (k_i F_{vi} + q_{0i} h_i)^2} = \frac{2F_{vi} \ell^3 q_{0i} h_i}{3EJ_{0i} (1 + \frac{q_{0i} h_i}{k_i F_{vi}})^2}. \quad (12)$$

Принимая

$$K_D = (D/d - 1), \quad (13)$$

$$K_{Ni} = \sqrt{1 - (i - 0,5)^2 / N^2}, \quad (14)$$

с учетом (5), (6), (7), (10) и пояснений к (1) получаем:

$$F_{vi} = F_i = 0,5F_0(1 - 0,25/N^2)K_{Ni} / \sum_{i=1}^N K_{Ni}^3, \quad (15)$$

$$k_i = \frac{3K_D K_{Ni}^2}{(K_D + K_{Ni})^3}, \quad (16)$$

$$q_{0i} = 0,5fp_0 d K_{Ni} / N, \quad (17)$$

$$h_i = d K_{Ni}, \quad (18)$$

$$J_{0i} = d^4 K_{Ni}^3 / (24N). \quad (19)$$

Подставив (15)...(19) в (12), имеем

$$W_i = \frac{4F_0 fp_0 \ell^3}{Ed^2 K_{Ni} \left[ 1 + \frac{fp_0 d^2 K_{Ni} (K_D + K_{Ni})^3}{3N K_D K_{Ni}^2 F_0} \right]^2}. \quad (20)$$

Подставив затем (20) в (11), получаем окончательную формулу для расчета расеянной за цикл колебаний энергии в исследуемом соединении шпули с насадкой шпинделя веретена:

$$W = 8 \frac{F_0 fp_0 \ell^3}{Ed^2} \frac{K_W}{K_{Ni}}, \quad (21)$$

где  $K_{Ni}$  – зависящий от числа разбиений  $N$  постоянный безразмерный коэффициент, рассчитываемый как

$$K_{Ni} = \sum_{i=1}^N K_{Ni}^3, \quad (22)$$

$K_W$  – зависящий от параметров соединения и величины амплитуды нагрузки безразмерный коэффициент, равный

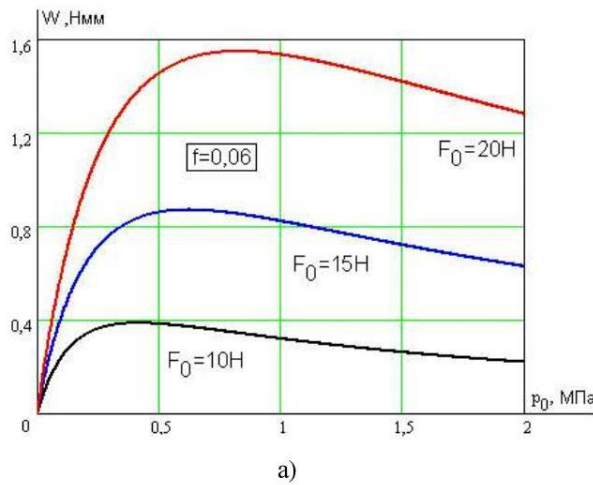
$$K_W = \sum_{i=1}^N \frac{1}{\left[ 1 + \frac{fp_0 d^2 K_{Ni} (K_D + K_{Ni})^3}{3N K_D K_{Ni}^2 F_0} \right]^2}. \quad (23)$$

Полученная формула (21) позволяет легко определить значение  $W$ , используя простейший метод численного расчета (суммирования) на ЭВМ.

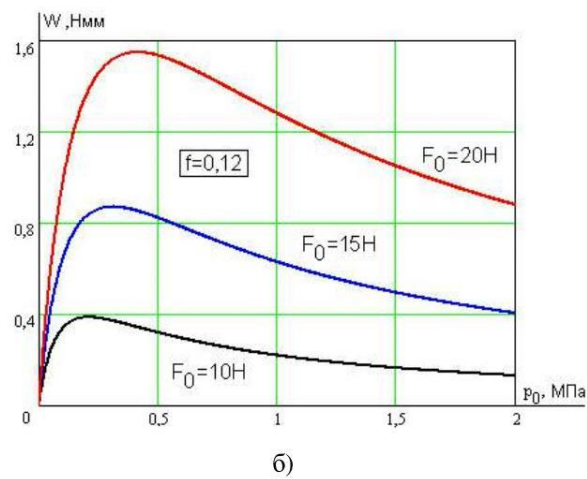
В качестве исходных данных при проведении расчетов были взяты следующие значения параметров соединения и нагрузки, характерные для веретена ВН-28 ГОСТ 27289-87 с картонной шпулей:

$$\begin{aligned} D &= 19 \text{ мм}; d = 16 \text{ мм}; \ell = 212 \text{ мм}; \\ E &= 0,8 \cdot 10^5 \text{ МПа}; N = 100; \\ f &= 0,06 \dots 0,12; p_0 = 0 \dots 2 \text{ МПа}; \\ F_0 &= 10 \dots 20 \text{ Н}. \end{aligned}$$

Результаты выполненных в системе "MathCAD" компьютерных расчетов для исследуемого соединения шпули с насадкой шпинделя веретена представлены в виде графиков на рис. 4:  $W = W(F_0, P)$  при а) –  $f = 0,06$ ; б) –  $f = 0,12$ .



а)



б)

Рис. 4

Их анализ показывает, что рассеяние энергии колебаний в соединении увеличивается с ростом амплитуды нагрузки, а с увеличением давления сначала рассеяние энергии возрастает, а после достижения некоторого максимального значения начинает убывать. При этом коэффициент трения на контактных поверхностях деталей, практически не влияя на величину максимального рассеяния энергии колебаний, вместе с тем определяет значение давления, при котором имеет место данный максимум.

Достоверность полученной теоретической формулы подтверждена путем сравнения данных аналитического расчета с результатами проведенного по методу "статической петли гистерезиса" эксперимента, в ходе которого были определены жесткость упругого элемента колебательной системы стенда  $c = 6,25 \text{ Н}/\text{мм}$  и коэффициент поглощения  $\psi = 0,044$  в исследуемом соединении [4].

При этом потенциальная энергия упругого элемента, соответствующая нагрузке  $F_0 = 20 \text{ Н}$ , равна  $E_p = 0,5F^2/c = 0,5 \cdot 20^2/6,25 = 32 \text{ Н}\cdot\text{мм}$ , а величина рассеяния энергии за цикл испытаний в исследуемом соединении составляет  $W = \psi E_p = 0,044 \cdot 32 = 1,41 \text{ Н}\cdot\text{мм}$ , что достаточно хорошо соглашается с данными теоретического расчета

$W = 1,29 \dots 1,56 \text{ Н}\cdot\text{мм}$  в диапазоне значений  $p_0 = 0,5 \dots 2,0 \text{ МПа}$  при  $f = 0,06$  (рис. 4-а).

### ВЫВОДЫ

1. Получена расчетная зависимость для определения рассеяния энергии колебаний за цикл в соединении шпули с насадкой шпинделя веретена.

2. Достоверность полученной зависимости подтверждена данными опытов.

### ЛИТЕРАТУРА

1. Вибрации в технике: Справочник. В 6 т. – М.: Машиностроение, 1981. – Т. 6. Защита от вибраций и ударов / Под ред. К.В. Фролова.

2. Калинин Н.Г и др. Конструкционное демпфирование в неподвижных соединениях / Н.Г. Калинин, Ю.А.Лебедев, В.И. Лебедева, Я.Г. Пановко, Г.И. Страхов. – Рига: Изд-во Академии наук Латвийской ССР, 1960.

3. Феодосьев В.И. Сопротивление материалов. – М.: Наука, 1988.

4. Колягин А.Ю., Палочкин С.В. Экспериментальные исследования демпфирования колебаний в крутильно-мотальном механизме // Изв. вузов. Технология текстильной промышленности. – 2009, № 2C.

Рекомендована кафедрой деталей машин и подъемно-транспортных устройств. Поступила 09.04.10.